

UNIVERSIDADE FEDERAL DE SANTA CATARINA
CENTRO DE CIÊNCIAS FÍSICA E MATEMÁTICAS
DEPARTAMENTO DE FÍSICA



PROGRAMA DE PÓS-GRADUAÇÃO EM FÍSICA

Exame de Seleção - Segundo Semestre de 2010

18/05/2010

Nome do Candidato: _____

Instruções: A prova consta de 20 (vinte) questões, sendo que o candidato deve escolher entre as opções A **ou** B de mesma numeração, totalizando 10 (dez) questões a serem respondidas. Os respectivos cálculos devem ser apresentados exclusivamente nos espaços destinados a cada questão escolhida (frente e verso), de maneira objetiva, **sem rasuras**.

ATENÇÃO: Não serão aceitas respostas sem uma justificativa coerente das alternativas assinaladas.

Em caso do candidato responder as opções A e B de uma mesma numeração, será considerada apenas a opção A.

1A - Uma carga positiva está distribuída ao longo do volume de uma esfera isolante de raio R_0 . A distribuição é variável, com densidade dada por $\rho(r) = \rho_0 \left(\frac{r^2}{R_0} \right)$. Determine ρ_0 , de modo que o campo elétrico na superfície da esfera seja idêntico ao de uma esfera isolante de raio R_0 carregada uniformemente ao longo do volume com uma carga total Q .

a) () $\rho_0 = \frac{3Q}{4\pi R_0^3}$

b) () $\rho_0 = \frac{5Q}{\pi R_0^3}$

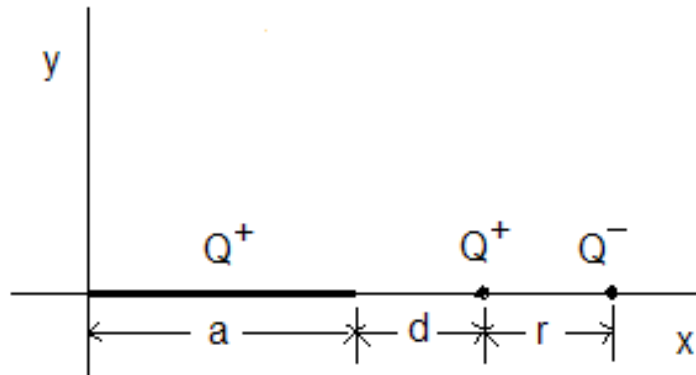
c) () $\rho_0 = \frac{5Q}{4\pi R_0^3}$

d) () $\rho_0 = \frac{3Q}{4\pi R_0^2}$

e) () $\rho_0 = \frac{Q}{R_0^3}$

1B - Uma carga Q^+ está distribuída uniformemente sobre o eixo Ox , desde $x=0$ até $x=a$. Uma carga puntual Q^+ está colocada fixa no ponto $x=a+d$, como ilustrado na figura abaixo. Determine a que distância r da carga puntual, à direita desta, deve ser colocada uma terceira carga, Q^- , de modo que a força resultante sobre a segunda carga seja nula.

- a) () $r = \sqrt{\frac{a^2}{4} + \frac{ad}{2} + d^2}$
 b) () $r = d$
 c) () $r = \sqrt{d^2 + r^2}$
 d) () $r = \sqrt{d(a+d)}$
 e) () $r = a+d$



2A - Responda se as afirmações abaixo são VERDADEIRAS (V) ou FALSAS (F). É necessário dar uma pequena justificativa para cada item assinalado.

a) () Se um elétron não sofre nenhum desvio ao atravessar em linha reta uma certa região do espaço, então podemos afirmar que não existe nenhum campo magnético naquela região do espaço.

b) () Um capacitor está inicialmente descarregado. Medidas mostram que não há nenhum campo magnético em seu interior. Ele começa então a ser carregado. Então podemos dizer que, segundo as equações de Maxwell, durante a carga do capacitor, não haverá nenhum campo magnético em seu interior.

c) () Se uma carga elétrica se move de forma acelerada sobre o eixo Ox , então podemos dizer que nenhuma radiação eletromagnética será emitida na direção x .

d) () Se você medir o módulo do campo magnético e elétrico em um ponto do espaço onde se propaga uma onda eletromagnética, então é possível determinar a direção de propagação desta onda.

e) () Produzimos uma corrente através das espiras helicoidais de uma mola, então podemos dizer que as espiras se aproximam como se a mola estivesse sendo comprimida.

2B - Responda se as afirmações abaixo são VERDADEIRAS (V) ou FALSAS (F). **É necessário dar uma pequena justificativa para cada item assinalado.**

a) () A identificação do comportamento ondulatório da luz depende da demonstração teórica de Maxwell de que a radiação eletromagnética se propaga como uma onda transversal com velocidade igual à velocidade da luz.

b) () Uma fonte puntiforme de luz emite ondas esféricas. Ela é colocada no foco de um espelho parabólico, então podemos dizer que as ondas refletidas pelo espelho serão ondas planas.

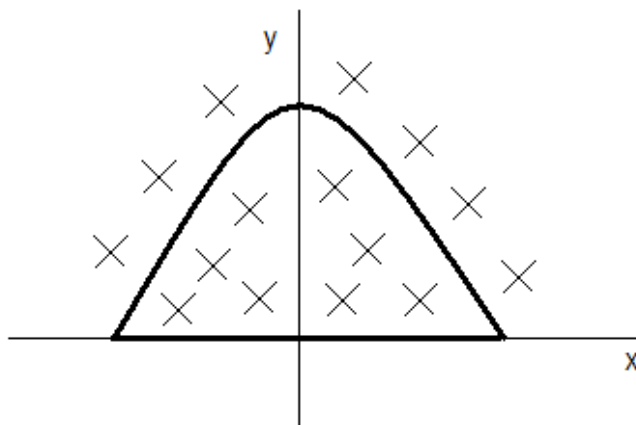
c) () Num experimento de fenda dupla, luz monocromática cruza as duas fendas formando, sobre uma tela, regiões de máximos e mínimos de difração. Então podemos dizer que, num ponto de máximo, existe um fluxo de energia sendo liberado sobre a tela, e que em um mínimo, não há liberação de energia sobre a tela.

d) () Ondas longitudinais não podem ser polarizadas. Esta simples observação é suficiente para provar que os raios-X não podem ser polarizados.

e) () A dualidade onda-partícula da luz é uma prova de que as conclusões da experiência de Young estão erradas.

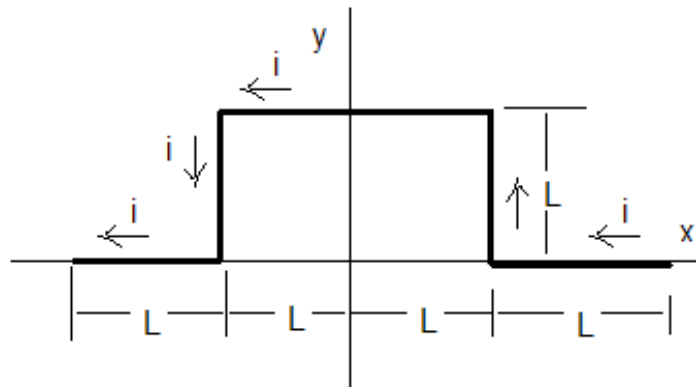
3A - Na figura abaixo, um campo magnético perpendicular ao plano da figura, apontando para dentro da página, varia com o tempo segundo $B(t) = \frac{B_0}{T_0^2}t^2 - Ct$ onde B_0 e T_0 são constantes. Uma espira condutora é construída pela intersecção da reta $y = 0$ com a curva dada por $y = -\left(\frac{x}{C}\right)^2 + 4$. Determine o valor de C no instante $t = T_0$, de modo que o módulo da força eletromotriz seja um máximo.

- a) () $C = \frac{1}{T_0}$
 b) () $C = B_0$
 c) () $C = \frac{B_0}{T_0}$
 d) () $C = \frac{2B_0}{T_0}$
 e) () $C = \left(\frac{B_0}{T_0}\right)^2$



3B - Na figura abaixo, temos um campo magnético que varia segundo a equação $\vec{B} = B_0\hat{k} + \frac{B_0}{L}x\hat{i}$, onde \hat{k} é um vetor unitário, perpendicular ao plano do desenho, apontando para fora da página e \hat{i} é um vetor unitário na direção de x positivo. Este campo atua numa região do espaço onde existe um fio condutor formado por cinco segmentos de reta, conforme mostrado na figura abaixo. Ele é percorrido por uma corrente i , direcionada da direita para a esquerda. Calcule a força magnética total sobre o fio.

- a) () $\vec{F} = 4iLB_0\hat{j}$
 b) () $\vec{F} = -4iLB_0\hat{j} - 2iLB_0\hat{k}$
 c) () $\vec{F} = 4iLB_0\hat{j} - 2iLB_0\hat{i} - 2iLB_0\hat{k}$
 d) () $\vec{F} = 4iLB_0\hat{j} - 2iLB_0\hat{k}$
 e) () $\vec{F} = -4iLB_0\hat{j} - 2iLB_0\hat{k} + 2iLB_0\hat{i}$



4A – Observe as três configurações do sistema **Sol/Terra/Lua** ilustradas na figura abaixo. Considere as órbitas da Lua em torno da Terra e da Terra em torno do Sol como sendo circulares. Analise as seguintes afirmações:

I – O módulo da força gravitacional resultante sobre a **Lua** em (a) é aproximadamente igual a $4,7 \times 10^{20} N$.

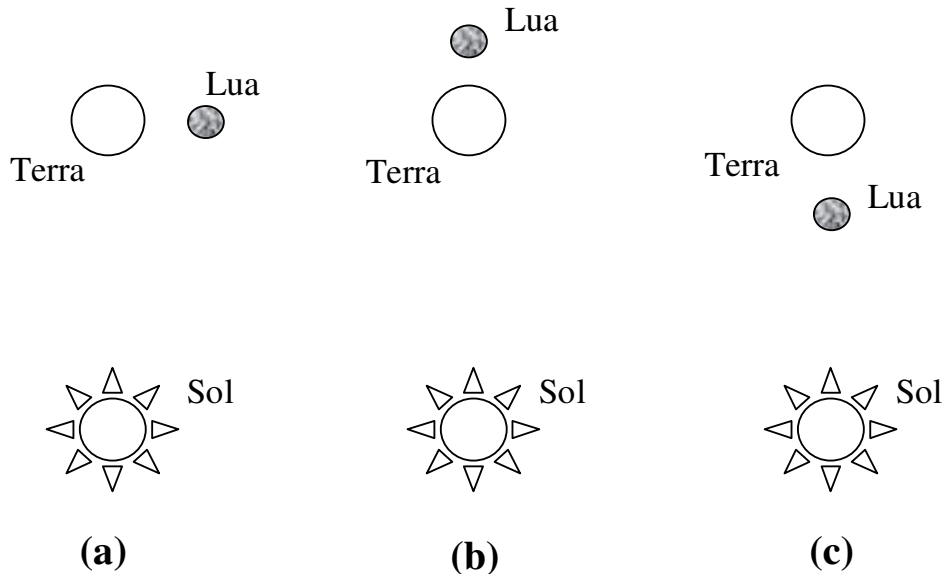
Sugestão: considere que a distância da **Terra** até o **Sol** é muito maior que a distância da **Terra** até a **Lua**, então podemos dizer que a distância do **Sol** até a **Lua** é aproximadamente igual a distância do **Sol** até a **Terra**.

II – O módulo da força gravitacional resultante sobre a **Lua** em (b) é maior que em (a).

III – O módulo da força gravitacional resultante sobre a **Lua** em (c) é igual ao módulo da força centrípeta da **Lua** em torno da **Terra**.

Analisando-se as afirmações acima, conclui-se que:

- a) () I e II são corretas.
- b) () I e III são corretas.
- c) () II e III são corretas.
- d) () Apenas III é correta.
- e) () Todas são corretas.



4B – Considere as afirmações abaixo:

I - Uma máquina de Carnot operando como motor térmico é considerada a mais eficiente das máquinas porque nela a quantidade de calor removida do reservatório quente é totalmente convertida em trabalho.

II – Num oscilador harmônico simples, cuja frequência natural de oscilação é ω_0 , se além da força restauradora também atuar uma força externa periódica dada por $F = F_0 \cos \omega t$, quando $\omega = \omega_0$ o sistema oscila com uma amplitude máxima finita. Este fenômeno é conhecido como ressonância.

III - A equação da onda estacionária é dada por $y(x, t) = 2A_0 \sin(kx) \cos(\omega t)$, onde $k = 2\pi/\lambda$ é o número de onda e ω é a frequência angular. Considere uma haste metálica com uma extremidade fixa numa parede em $x = 0$ e outra extremidade livre em $x = L$, onde L é o comprimento da haste. Sendo v a velocidade de propagação das ondas, as frequências de ressonância da haste são dadas por $f_n = \frac{nv}{4L}$ com $n = 1, 3, 5, \dots$

Analisando-se as afirmações acima, conclui-se que:

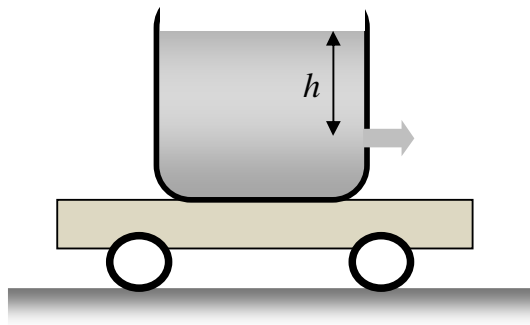
- a) () I e II são corretas.
- b) () I e III são corretas.
- c) () II e III são corretas.
- d) () Apenas III é correta.
- e) () Todas são corretas.

5A – Um relógio de pêndulo é calibrado para uma oscilação completa levar $2,0\text{seg.}$ a uma temperatura de 20°C . Considere o pêndulo constituído de uma haste de latão de massa desprezível com um corpo pesado e de dimensão desprezível preso na extremidade (o coeficiente de dilatação linear do latão é $18 \times 10^{-6} \text{K}^{-1}$). O atraso do relógio em um período de 24h num dia quente quando a temperatura for de 30°C é de

- a) () $4,0 \text{ seg.}$
- b) () $8,0 \text{ seg.}$
- c) () $12,0 \text{ seg.}$
- d) () $16,0 \text{ seg.}$
- e) () $24,0 \text{ seg.}$

5B – Um tanque de água encontra-se sobre um carrinho que pode mover-se sobre um trilho horizontal com atrito desprezível. Há um pequeno orifício de área A na parede lateral do tanque a uma profundidade h abaixo da superfície da água (ver figura abaixo). M é a massa inicial do tanque com água e m a massa do carrinho. Despreze o fator de contração do filete de água ao sair pelo furo. O módulo da aceleração inicial do carrinho, no instante em que o orifício é aberto, é dada por

- a) () $\frac{\rho g h A}{(M+m)}$.
- b) () $\frac{\rho g h A}{2(M+m)}$.
- c) () $\frac{2\rho g h A}{(M+m)}$.
- d) () $\frac{\sqrt{2gh}\rho A}{(M+m)}$.
- e) () $\frac{\rho g h A(M+m)}{(Mm)}$.

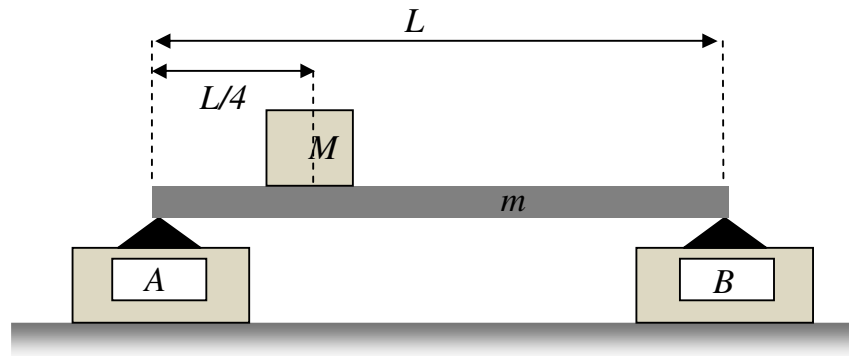


6A - Num macaco hidráulico o pistão maior tem uma seção reta com área $A = 0,2 \text{ m}^2$, enquanto que a área da seção reta do pistão menor é dada por $a = 5 \times 10^{-3} \text{ m}^2$. Este sistema está preenchido com óleo de densidade 800 kg/m^3 e é utilizado para elevar um carro de 2000 kg depositado sobre o pistão maior através da aplicação de uma força F_a no pistão menor. Considerando a igualdade das pressões e que o pistão menor se mantém no nível do solo, e lembrando que neste caso é necessário levar em conta o peso da coluna de óleo que também precisa ser elevada no pistão maior, o valor de F_a para elevar o carro a uma altura de $2,0 \text{ m}$ é

- a) () 420 N .
- b) () 500 N .
- c) () 580 N .
- d) () 630 N .
- e) () 680 N .

6B – Uma viga uniforme de comprimento L e massa m repousa com as duas extremidades sobre duas balanças digitais A e B . Um bloco de massa M repousa sobre a viga, com seu centro situado a $\frac{1}{4}$ do comprimento da viga em relação a balança A , veja figura abaixo. Nesta situação, as leituras das balanças A e B são respectivamente:

- a) () $\frac{g}{4}(3M + 2m)$ e $\frac{g}{4}(M + 2m)$.
 b) () $\frac{g}{4}(3M - 2m)$ e $\frac{g}{4}(M - 2m)$.
 c) () $\frac{g}{4}(M + 2m)$ e $\frac{g}{4}(3M + 2m)$.
 d) () $\frac{4gMm}{(3M+2m)}$ e $\frac{4gMm}{(M+2m)}$.
 e) () $\frac{4gMm}{(M+2m)}$ e $\frac{4gMm}{(3M+2m)}$.



7A – Considere uma placa retangular sólida e uniforme de massa M com lados a e b . O momento de inércia relacionado ao eixo de rotação perpendicular a placa e que passa pelo seu centro geométrico é dado por

a) () $\frac{1}{12}M(ab)$.

b) () $\frac{1}{12}M(a^2 + b^2)$.

c) () $\frac{1}{6}M(a^2 + b^2)$.

d) () $\frac{1}{4}Ma^2 + \frac{1}{3}Mb^2$.

e) () $\frac{1}{12}M \frac{(ab)^2}{(a^2+b^2)}$.

7B – Uma máquina utilizando um mol de gás ideal, inicialmente com volume de 26,6 *litros* e temperatura de 400 K, realiza um ciclo que consiste de 4 processos: 1) expansão isotérmica a 400 K até duas vezes o volume inicial; 2) resfriamento a volume constante até a temperatura atingir 300 K; 3) compressão isotérmica até seu volume original e 4) aquecimento a volume constante até retornar a sua temperatura inicial. Considere a capacidade térmica molar a volume constante $C_V = 21 \text{ J/molK}$. A eficiência desta máquina atuando como motor térmico é de

- a) () 13%.
- b) () 18%.
- c) () 25%.
- d) () 39%.
- e) () 52%.

8A - Um dos postulados da mecânica quântica diz que observáveis devem ser descritos por operadores lineares. Analise os operadores abaixo e diga quais deles são lineares.

$$\text{I - } \hat{O}_1 \psi(x) \leftrightarrow \pi \psi(x)$$

$$\text{II - } \hat{O}_2 \psi(x) \leftrightarrow e^{ikx} \psi(x)$$

$$\text{III - } \hat{O}_3 \psi(x) \leftrightarrow i \frac{d\psi(x)}{dx}$$

$$\text{IV - } \hat{O}_4 \psi(x) \leftrightarrow \text{sen}(\psi(x))$$

$$\text{V - } \hat{O}_5 \psi(x) \leftrightarrow -\frac{d^2 \psi(x)}{dx^2}$$

- a) () todos.
- b) () I, II e III.
- c) () I, II, IV e V.
- d) () III, IV e V.
- e) () I, II, III e V.

8B - Abaixo estão listados três conjuntos de operadores, autofunções e autovalores. Para cada um, verifique se as funções dadas são autofunções dos respectivos operadores, com o autovalor correspondente e indique a alternativa correta.

$$\text{I - } \hat{O}_1 \leftrightarrow \frac{\partial}{\partial x} + \frac{\partial}{\partial y} \quad ; \quad \psi(x) = Ae^{ik(x+y)} \quad ; \quad 2ik$$

$$\text{II - } \hat{O}_2 \leftrightarrow i\hbar \frac{d}{dt} \quad ; \quad \varphi(t) = B.\text{sen}(\omega t) \quad ; \quad \omega$$

$$\text{III - } \hat{O}_3 \leftrightarrow \frac{-\hbar^2}{2m} \frac{d^2}{dx^2} + \frac{1}{2} m\omega^2 x^2 \quad ; \quad \lambda(x) = Ce^{-m\omega x^2 / (2\hbar)} \quad ; \quad \frac{\hbar\omega}{2}$$

A, B, C, k, m, ω são constantes.

- a) () I e III estão corretas.
- b) () somente I está correta.
- c) () II e III estão corretas.
- d) () somente III está correta.
- e) () nenhuma está correta.

9A - Considere nove férmions não interagentes sujeitos a um potencial tipo oscilador harmônico em três dimensões isotrópico. O hamiltoniano para este sistema pode ser escrito como $H = \frac{1}{2m}(p_x^2 + p_y^2 + p_z^2) + \frac{m\omega^2}{2}(x^2 + y^2 + z^2)$. Se as partículas ocuparem a configuração de menor energia neste sistema, a energia do férmion menos energético e do mais energético é dada respectivamente por

a) $() \frac{3}{2}\hbar\omega$ e $\frac{7}{2}\hbar\omega$

b) $() \frac{1}{2}\hbar\omega$ e $\frac{3}{2}\hbar\omega$

c) $() 0$ e $\frac{1}{2}\hbar\omega$

d) $() \frac{3}{2}\hbar\omega$ e $\frac{3}{2}\hbar\omega$

e) $() \frac{3}{2}\hbar\omega$ e $\frac{5}{2}\hbar\omega$

9B - Um átomo de H encontra-se em um estado descrito pela função de onda:

$$\Psi(r, \theta, \varphi) = A[3\psi_{100}(r, \theta, \varphi) + 2\psi_{200}(r, \theta, \varphi) - e^{i\pi}\psi_{211}(r, \theta, \varphi)]$$

onde $\psi_{nlm}(r, \theta, \varphi)$ são autoestados do Hamiltoniano para o átomo de hidrogênio e A é uma constante de normalização. A constante de normalização A é dada por

Sugestão: As funções $\psi_{nlm}(r, \theta, \varphi)$ são ortogonais e normalizadas.

- a) () $1/\sqrt{13}$
- b) () $1/\sqrt{13 - e^{2i\pi}}$
- c) () $1/14$
- d) () $1/\sqrt{14}$
- e) () $13 + e^{2i\pi}$

10A - Um prisma de vidro com índice de refração n se move com velocidade v constante em relação ao laboratório. Durante seu movimento um feixe de luz se propaga no prisma no mesmo sentido de sua velocidade v . A velocidade da luz no prisma quando medida em um referencial sobre o prisma e por um observador no laboratório é dada respectivamente por

a) () c e $c + nv$

b) () $\frac{c}{n}$ e $\frac{(c - nv)}{(n - v/c)}$

c) () $\frac{c}{n}$ e $\frac{(c + nv)}{(n + v/c)}$

d) () c e $c - nv$

e) () c e c

10B - Materiais cristalinos exibem uma grande diversidade no comportamento elétrico, podendo ser classificados como condutores, semicondutores ou isolantes. Analise as afirmações abaixo e responda se elas são VERDADEIRAS (V) ou FALSAS (F). **É necessário dar uma pequena justificativa para cada item assinalado.**

- a) () Materiais metálicos tem a condutividade elétrica aumentada com a temperatura, devido à maior mobilidade eletrônica.
- b) () Os semicondutores tem grande aplicação tecnológica devido à anisotropia das propriedades elétricas que privilegiam certas direções cristalinas.
- c) () Um requisito suficiente para caracterizar um isolante elétrico é ter a banda de valência totalmente ocupada.
- d) () À temperatura ambiente, os cristais formados por haletos alcalinos são isolantes elétricos.
- e) () Em um metal à temperatura zero kelvin, todos os elétrons de condução tem energia menor ou igual à Energia de Fermi e uma fração considerável da população de elétrons ocupa o primeiro estado quantizado (estado fundamental).

RELAÇÕES:

Utilizar $g \approx 10 \text{ m/s}^2$

Distância Terra-Sol (centro a centro): $D_{TS} = 1,5 \times 10^{11} \text{ m}$

Distância Terra-Lua (centro a centro): $D_{TL} = 3,8 \times 10^8 \text{ m}$

Massa do Sol: $M_S \approx 2 \times 10^{30} \text{ kg}$

Massa da Terra: $M_T \approx 6 \times 10^{24} \text{ kg}$

Massa da Lua: $M_L \approx 7,4 \times 10^{22} \text{ kg}$

Constante gravitacional universal: $G = 6,6 \times 10^{-11} \text{ Nm}^2/\text{kg}^2$

Constante universal dos gases ideais: $R = 8,314 \frac{\text{J}}{\text{mol.K}}$.

FORMULÁRIO:

$$F = \frac{|q_1 q_2|}{4\pi\epsilon_0 r^2} \quad V = \frac{U}{q_0} = \frac{q}{4\pi\epsilon_0 r} \quad \oint \vec{B} \cdot d\vec{l} = \mu_0 (i_c + i_D)_{\text{int}}$$

$$\vec{E} = \frac{q}{4\pi\epsilon_0 r^2} \hat{r} \quad d\vec{F} = id\vec{l} \times \vec{B} \quad i_D = \epsilon \frac{d\Phi_E}{dt}$$

$$\epsilon_0 \oint \vec{E} \cdot \vec{n} dA = q_{\text{int}} \quad \vec{F} = q\vec{v} \times \vec{B} \quad \Phi_E = \oint \vec{E} \cdot \vec{n} dA$$

$$U = \frac{qq_0}{4\pi\epsilon_0 r} \quad \vec{B} = \frac{\mu_0}{4\pi} \frac{q\vec{v} \times \hat{r}}{r^2} \quad \Phi_B = \oint \vec{B} \cdot \vec{n} dA$$

$$\epsilon = -\frac{d\Phi_B}{dt} \quad \oint \vec{E} \cdot d\vec{l} = -\frac{d\Phi_B}{dt} \quad \vec{S} = \frac{1}{\mu_0} \vec{E} \times \vec{B}$$

$$F = \frac{GMm}{r^2} \quad T = 2\pi \sqrt{\frac{l}{g}} \quad T = 2\pi \sqrt{\frac{l}{msg}}$$

$$P + \frac{1}{2} \rho v^2 + \rho gh = cte \quad P = P_0 + \rho gh$$

$$I = \frac{1}{12} ML^2 \quad I = I_{CM} + Mr^2 \quad PV = nRT$$

$$\hat{H} \Psi = E \Psi; \quad \hat{H} \leftrightarrow \frac{-\hbar^2}{2m} \nabla^2 + V$$

$$\nabla^2 = \frac{\partial^2}{\partial x^2} + \frac{\partial^2}{\partial y^2} + \frac{\partial^2}{\partial z^2} \quad \nabla^2 = \frac{1}{r^2} \frac{\partial}{\partial r} \left(r^2 \frac{\partial}{\partial r} \right) + \frac{1}{r^2 \sin^2 \theta} \frac{\partial^2}{\partial \varphi^2} + \frac{1}{r^2 \sin \theta} \frac{\partial}{\partial \theta} \left(\sin \theta \frac{\partial}{\partial \theta} \right)$$

$$\text{Se } V = \frac{m\omega^2 x^2}{2} \text{ temos os autovalores: } E_n = \left(n + \frac{1}{2}\right) \hbar \omega$$

$$\Psi_{100} = \frac{1}{\sqrt{\pi}} \left(\frac{Z}{a_0} \right)^{3/2} e^{-Zr/a_0} \quad \Psi_{200} = \frac{1}{4\sqrt{2\pi}} \left(\frac{Z}{a_0} \right)^{3/2} \left(2 - \frac{Zr}{a_0} \right) e^{-Zr/2a_0}$$

$$\Psi_{210} = \frac{1}{4\sqrt{2\pi}} \left(\frac{Z}{a_0} \right)^{3/2} \left(\frac{Zr}{a_0} \right) e^{-Zr/2a_0} \cos \theta \quad \Psi_{21\pm 1} = \frac{1}{8\sqrt{\pi}} \left(\frac{Z}{a_0} \right)^{3/2} \left(\frac{Zr}{a_0} \right) e^{-Zr/2a_0} \sin \theta e^{\pm i\phi}$$

$$E^2 = p^2 c^2 + m^2 c^4 \quad u_x' = \frac{u_x - v}{1 - \frac{u_x v}{c^2}} \quad u_x = \frac{u_x' + v}{1 + \frac{u_x' v}{c^2}} \quad \gamma = \frac{1}{\sqrt{1 - v^2/c^2}}$$